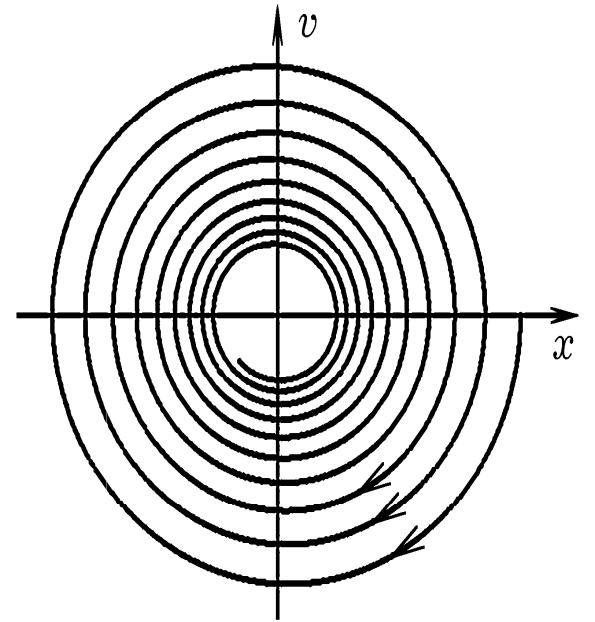
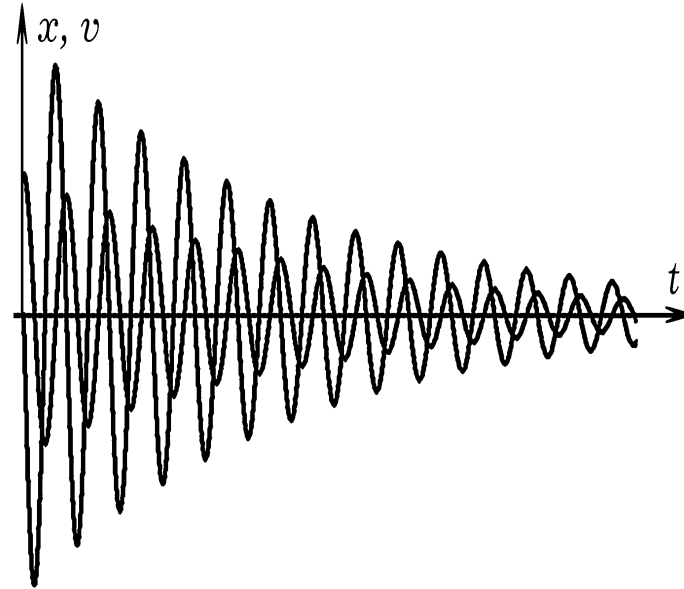
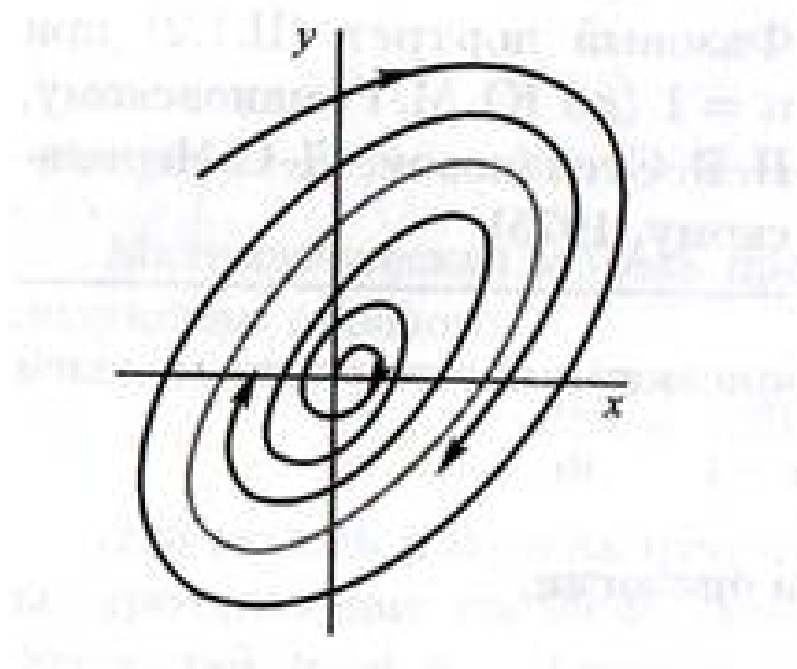


Фазовые портреты электрических колебаний



Батарин Егор, Б01-903

Содержание

- 1) Фазовое пространство
- 2) Фазовый портрет свободных колебаний
- 3) Фазовый портрет затухающих колебаний
- 4) Автоколебания Ван-дер-Поля, их связь с предельными циклами

Фазовое пространство

$$\dot{y}_i = f_i(y_1, \dots, y_n, t) \quad i = 1 \dots n$$

Построим n – мерное фазовое пространство, по осям координат которого отложены y_i

Динамическая система – система, эволюция которой определяется детерминированной функцией.

\Rightarrow можно строить кривые $L = \left\{ \left(y_1(t), \dots, y_n(t) \right) \middle| t \in T \right\}$ - фазовые траектории

Совокупность всех (непересекающихся) фазовых траекторий, отвечающих различным начальным значениям образуют фазовый портрет системы.

Фазовая плоскость – двумерное фазовое пространство.

Свободные колебания, уравнения фазовых траекторий

$$\ddot{y} + \omega_0 y = 0, \quad y_1 = y, \quad y_2 = \dot{y}$$

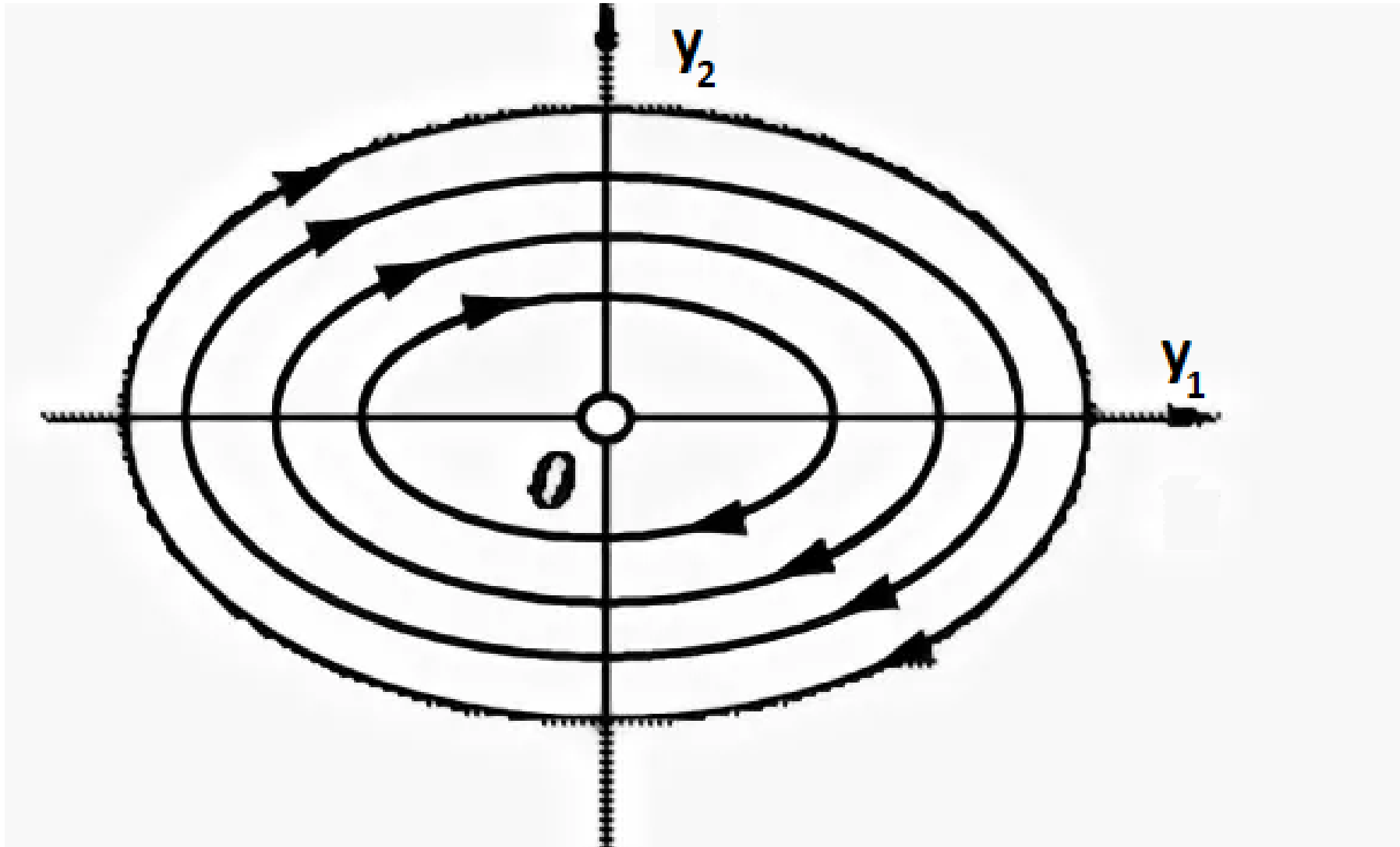
Способ 1

$$y_1 = y(t) = y_0 \cos(\omega_0 t + \varphi_0) \Rightarrow y_2 = \dot{y}(t) = -\omega_0 y_0 \sin(\omega_0 t + \varphi_0) \Rightarrow \left(\frac{y_1}{y_0} \right)^2 + \left(\frac{y_2}{\omega_0 y_0} \right)^2 = 1$$

Способ 2

$$\frac{LI^2}{2} + \frac{q^2}{2C} = E = \text{const} \Leftrightarrow \frac{y_2^2}{2} + \frac{y_1^2 \omega_0^2}{2} = \text{const}$$

Фазовый портрет свободных колебаний



Затухающие колебания, уравнения фазовых траекторий

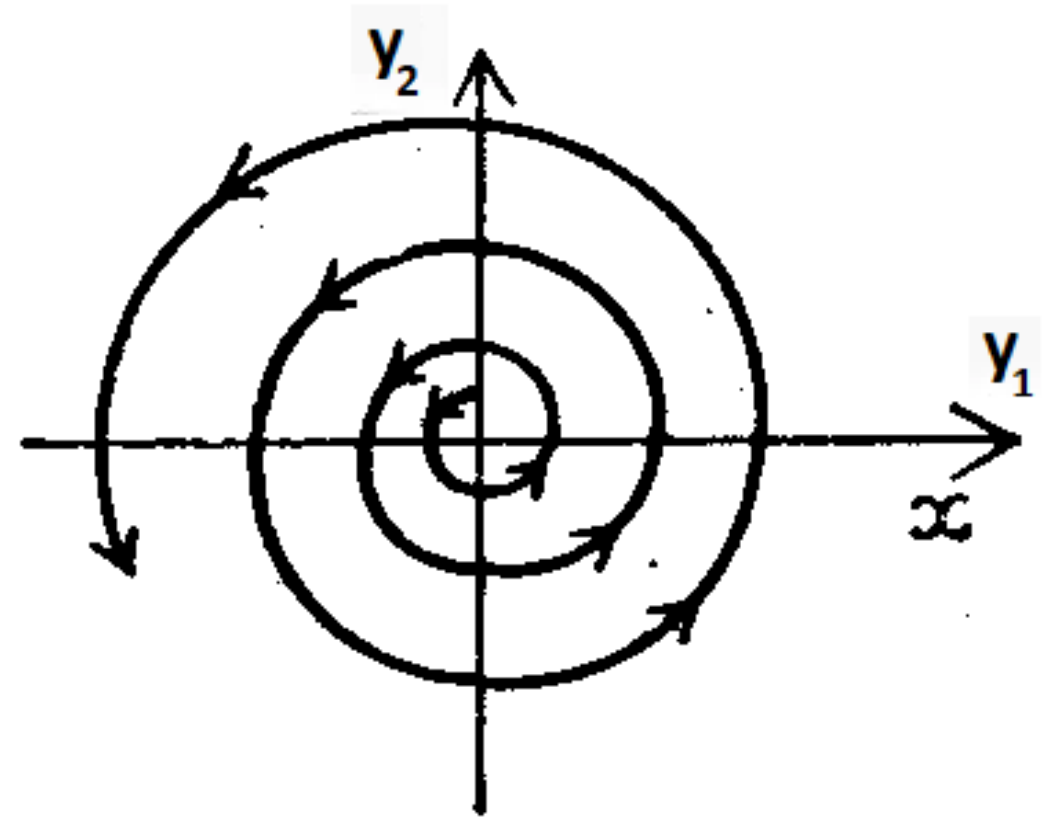
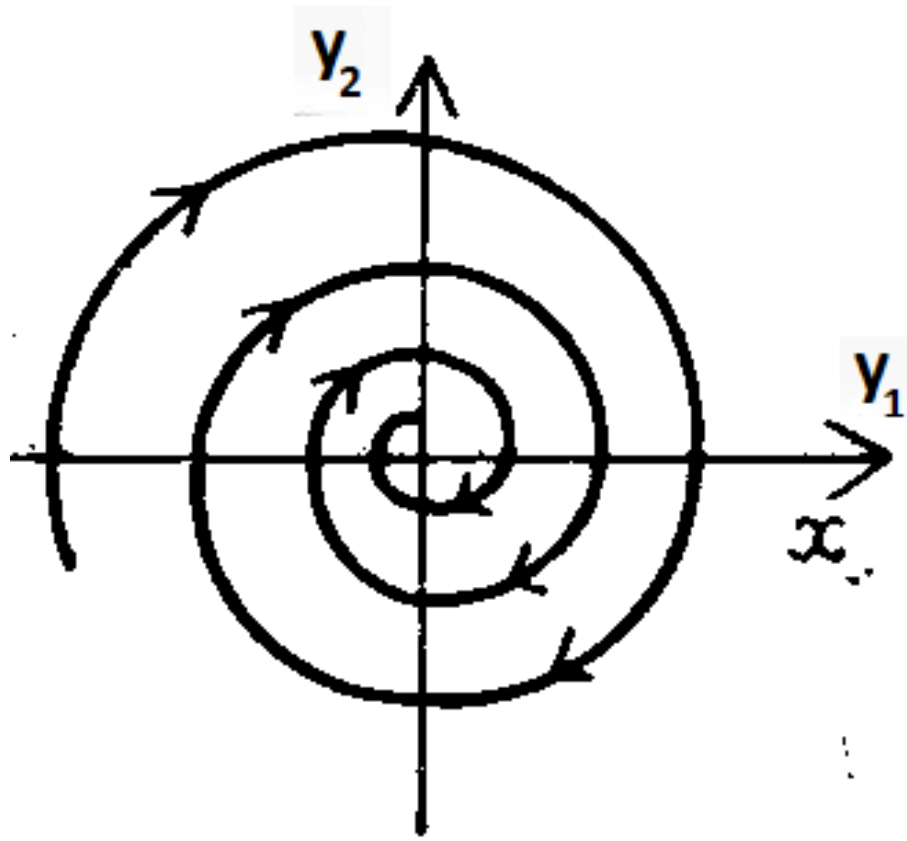
$$\ddot{y} + 2\gamma\dot{y} + \omega_0^2 y = 0, \quad y_1 = y, \quad y_2 = \dot{y}$$

$$y_1 = y_0 e^{-\gamma t} \cos(\omega t + \varphi_0) \Rightarrow y_2 = -\gamma y_0 e^{-\gamma t} \cos(\omega t + \varphi_0) - \omega y_0 e^{-\gamma t} \sin(\omega t + \varphi_0) \Rightarrow$$

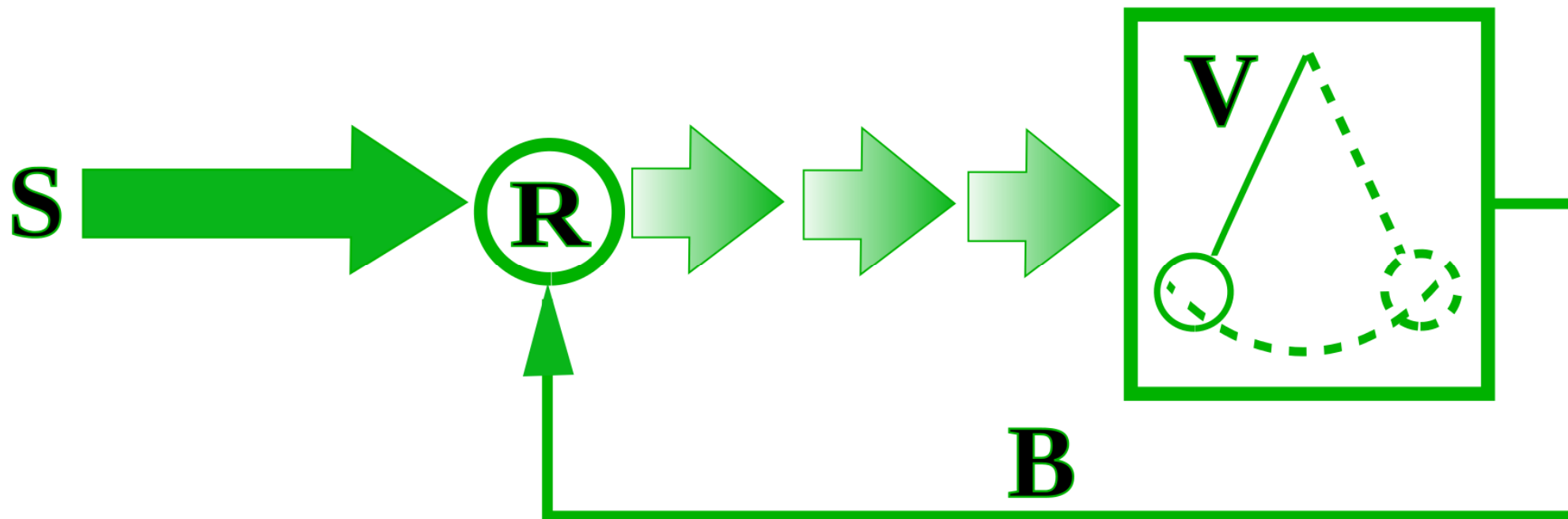
$$\cos(\omega t + \varphi_0) = \frac{y_1}{y_0 e^{-\gamma t}}, \sin(\omega t + \varphi_0) = -\frac{y_2 + \gamma y_0 e^{-\gamma t} \cdot \frac{y_1}{y_0 e^{-\gamma t}}}{\omega y_0 e^{-\gamma t}} = -\frac{y_2 + \gamma y_1}{\omega y_0 e^{-\gamma t}} \Rightarrow$$

$$\left(\frac{y_1}{y_0 e^{-\gamma t}} \right)^2 + \left(\frac{y_2 + \gamma y_1}{\omega y_0 e^{-\gamma t}} \right)^2 = 1$$

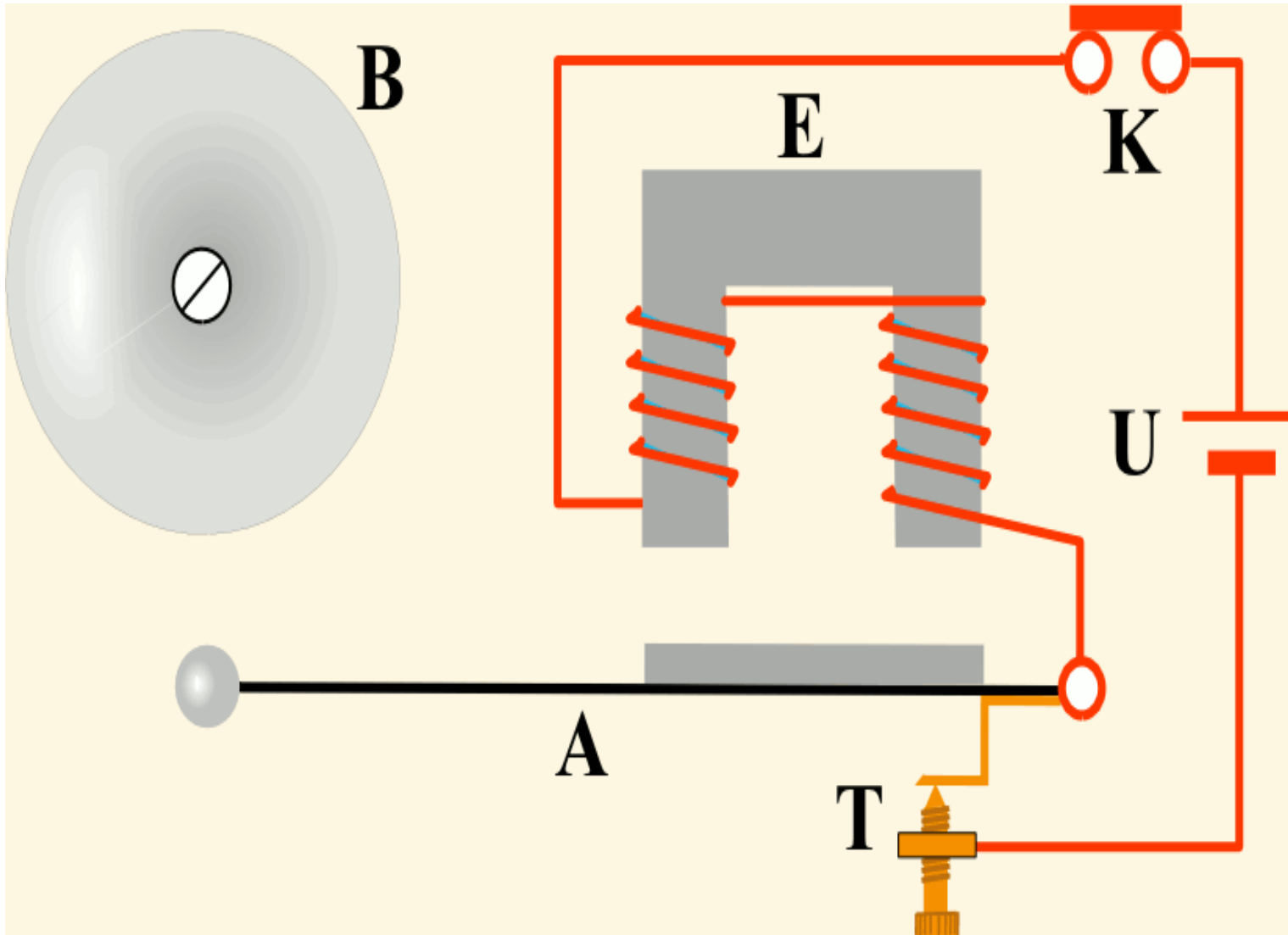
Фазовые портреты затухающих колебаний



Автоколебательные системы



Электрозвонок



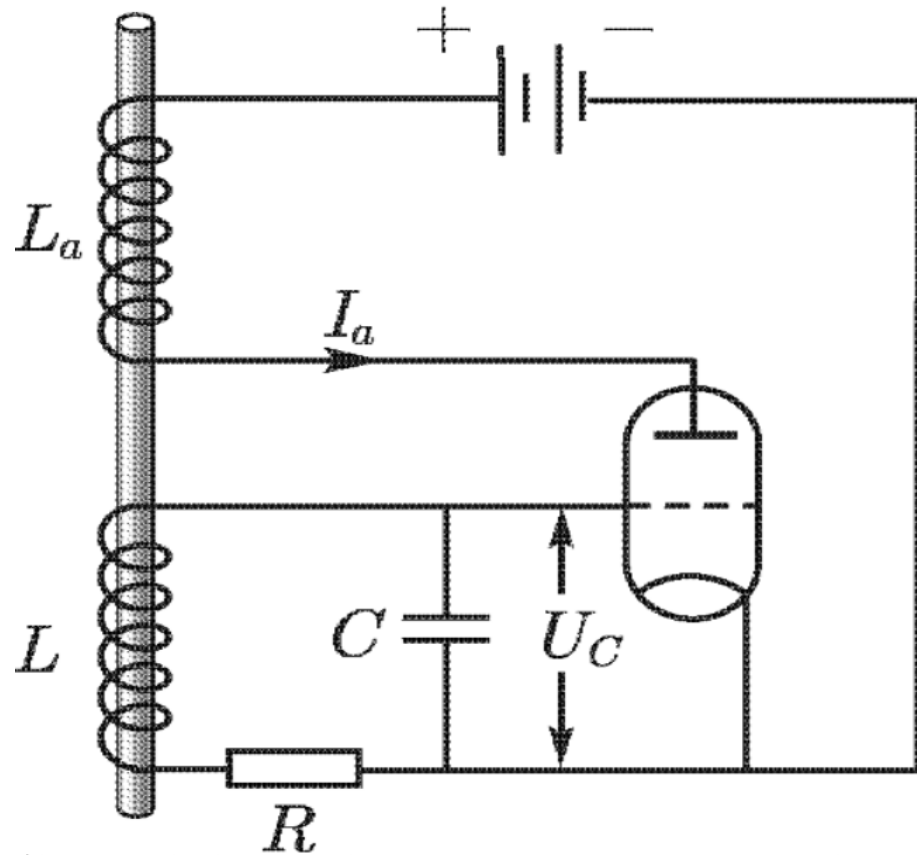
S – батарея

R – прерыватель T

V – якорь A

B – магнитное + гравитационное поле

Генератор Ван-дер-Поля



S – ЭДС батарейки

R – ламповый триод

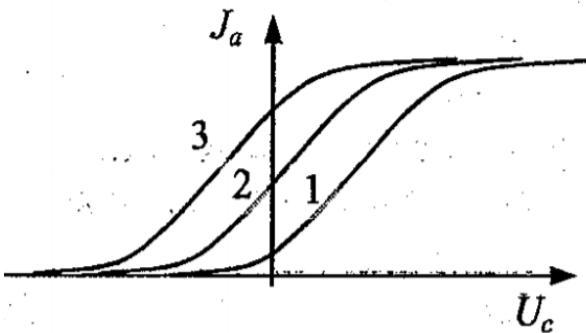
V – колебание напряжения на конденсаторе

B – взаимная индукция + зависимость анодного тока от

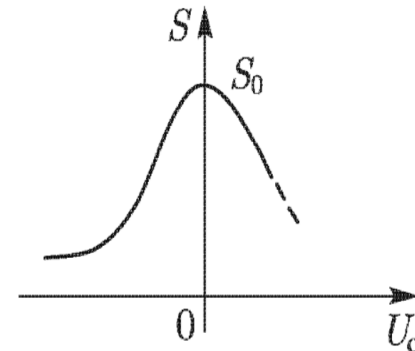
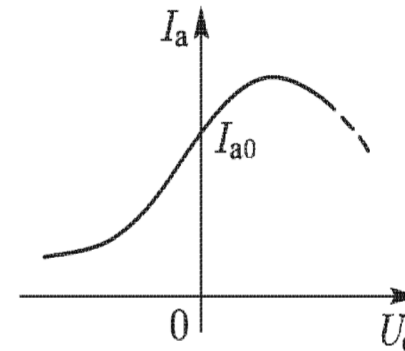
сеточного напряжения $I_a = I_a(U_c), S(U_c) = \frac{dI_a}{dU_c}$

Подберем U_a такое, что $U_a = \arg \max S(U_a)$ при $U_c = 0$.

Тогда $S = S_0 - S_2 U_c^2, I_a = I_{a0} + S_0 U_c - \frac{1}{3} S_2 U_c^3$



Сеточная характеристика триода для трёх значений анодного напряжения: $U_{a1} < U_{a2} < U_{a3}$. (кривые 1, 2 и 3 соответственно)



Уравнение Ван-дер-Поля

$$L \frac{dI}{dt} + RI + U_c = M \frac{dI_a}{dt}, \quad I = \frac{dQ}{dt}, \quad U_c = \frac{Q}{C}, \quad I = C \frac{dU_c}{dt} \Rightarrow$$

$$LC \frac{d^2 U_c}{dt^2} + RC \frac{dU_c}{dt} + U_c = M \frac{dI_a}{dt} \Rightarrow$$

$$\frac{d^2 U_c}{dt^2} - \frac{M}{LC} \left(S_0 - S_2 U_c^2 - \frac{RC}{M} \right) \frac{dU_c}{dt} + \omega_0^2 U_c = 0 \Rightarrow$$

$$\ddot{x} - 2\gamma \dot{x}(1 - x^2) + \omega_0^2 x = 0$$

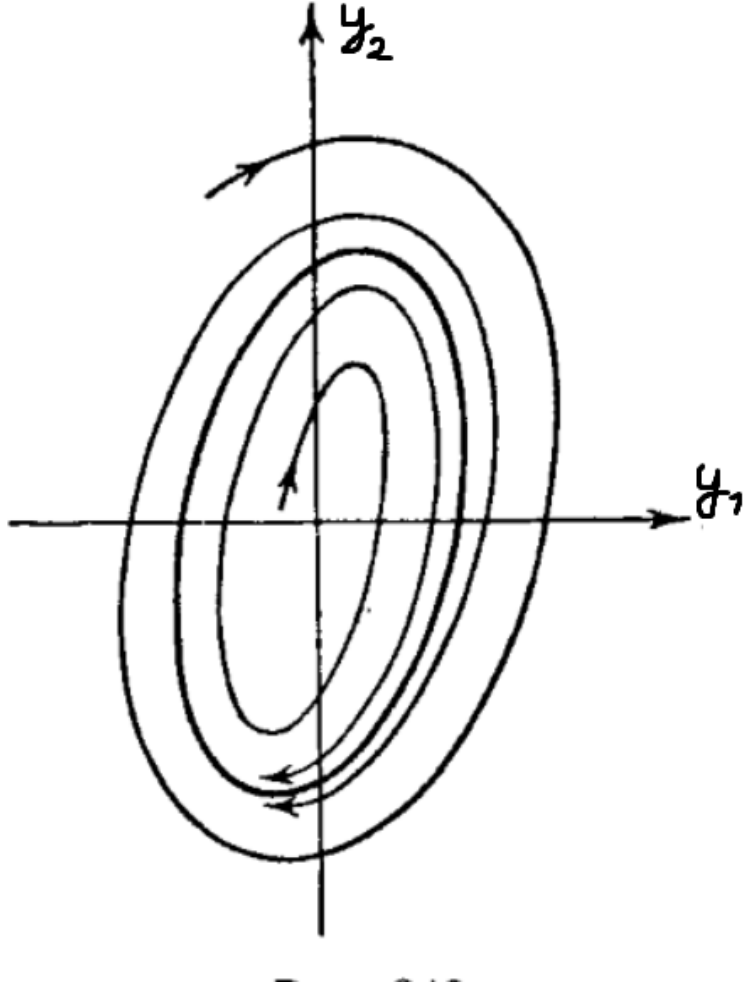
Здесь

$$x = U_c \sqrt{\frac{MS_2}{MS_0 - RC}}, \quad 2\gamma = \frac{MS_0 - RC}{LC}$$

Рассмотрим случай $x \approx 0 \Rightarrow \ddot{x} - 2\gamma\dot{x} + \omega_0^2 x = 0$. Если $\gamma < 0$, то имеем обычные затухающие колебания. Фазовый портрет в осях $y_1 = x, y_1 = \dot{x}$ при $x \approx 0$ представляет из себя спираль с устойчивым фокусом $x = \dot{x} = 0$

Пусть теперь $\gamma > 0$. Начальное движения из $x = \dot{x} = 0$ описывается уравнением $\ddot{x} - 2|\gamma|\dot{x} + \omega_0^2 x = 0 \Rightarrow$ самовозбуждение, + обратная связь. При достаточно больших x (при большом U_c) начинает играть роль слагаемое $2\gamma\dot{x}x^2$. Тогда анодный ток перестает расти, заканчивается самовозбуждение и устанавливается равновесные колебания. При этом, это равновесие устойчивое \Rightarrow — обратная связь.

Фазовый портрет автоколебаний



Устойчивый предельный цикл — замкнутая кривая на фазовой плоскости, к которой неограниченно приближаются прочие фазовые траектории.

Понятие «автоколебания» (1928)



Александр Александрович
Андронов

Определение А.А. Андропова:
«Автоколебания – такие колебания, которым на фазовом пространстве соответствуют математически устойчивые предельные циклы Пуанкаре»

Используемая литература

- 1) Андронов А А "Предельные циклы Пуанкаре и теория автоколебаний" *УФН* **93** 329–331 (1967)
- 2) Карлов Н.В., Кириченко Н.А. «Колебания, волны, структуры»
- 3) «Теория колебаний», Андронов А.А., Витт А.А., Хайкин С.Э., 1959
- 4) Арнольд «Обыкновенные дифференциальные уравнения»
- 5) Н.А. Кириченко «Электричество и магнетизм»